

홍 석
근 영
유 민
부 상

아주대학교
아주대학교
육군사관학교
아주대학교

1. 서 론

최근 마이크로컴퓨터의 급속한 발달과 함께 인간의 수.족을 대신할수 있는 의수.의족에 대한 관심또한 커져 왔다. 이에따라 근전도신호(EMG SIGNAL)를 이용하여 팔의 동작을 판정하는 방법도 다양하게 발전해 온바,현재 이에대한 연구는 크게 두가지로 나눌수 있다. 그 첫째는 Graupe 등의 시계열 분석이론으로 EMG 신호를 시계열(time series)로 취급하여 미리 추정된 변수와 비교하여 동작을 판정하는 방법이고, (1) (5) 둘째는 Saridis 등이 제안한 패턴인식 이론으로 Kwatny 등이 제안한 "EMG 신호는 Gaussian random signal이다."라는 이론을 바탕으로 임의의 특성공간(feature space)에서의 패턴을 구하고 그것을 식별하여 동작을 판정하는 방법이다. (2) (3) (6) 그런데 Graupe등이 제안한 방법은 1 개의 신호를 사용하여 동작을 판정하기 때문에 신호의 정보를 충분히 활용할수 있는 단점이 있게된다. 이에 본 논문에서는 Saridis등이 제안한 패턴인식 이론을 이용하여 다음의 팔의 7 가지 기본동작에 대해 16 bit microcomputer 인 IBM PC 로 동작을 판정해 보았다.

* 7 가지 기본동작 *

- . 손목 안으로 돌리기 (WRIST PRONATION)
- . 손목 밖으로 돌리기 (WRIST SUPINATION)
- . 팔을 아래로 펴기 (ELBOW EXTENSION)
- . 팔을 위로 굽히기 (ELBOW FLEXION)
- . 팔꿈 안으로 돌리기 (HUMERAL ROTATION IN)
- . 팔꿈 밖으로 돌리기 (HUMERAL ROTATION OUT)
- . 정지동작 (NO MOTION)

2. 본 론

- 2-1 근전도 신호의 확률적 모델
- 2-1-1 근전도 신호의 특성
 - 사람의 근육으로부터 나오는 근전도 신호는 대략 다음과 같은 특성을 갖는다는 것이 알려져 있다. (2)
 - 근전도 신호는 1200 HZ 이상의 고주파성분이 없다.
 - 대부분의 패턴정보는 영교차수(ZERO CROSSING NUMBER) 와 분산(Variance) 에 밀접한 관계가 있다.
 - 각 동작에 대해 분산과 영교차수의 정보는 분리할수 있을 만큼 확실하다.

2-1-2 특성공간 (feature space)

위에서 얻은 EMG 신호의 특성을 바탕으로 패턴인식에 필요한 특성공간은 다음과 같이 정의되는 변수들로 만들수 있다.

$$IAV = \sum_{I=1}^N |S(I)|$$

$$ZCR = \sum_{I=1}^N S_z(I)$$

$S(I)$: 정음권 신호

$$S_z(I) : \begin{cases} 1 & : S(I) < 0 \\ 0 & : S(I) \geq 0 \end{cases}$$

$$Z(I) = S(I) \times S_z(I+1)$$

2-1-3 판정함수 (Decision function)

위의 각 변수들로 구성된 각각의 특성공간에서 임의로 추출된 신호벡터 X_a 는 그림 2-1 과 같이 기준벡터 X_r 과 서로 직교하는 벡터 X_s , X_h 의 합으로 표시될수 있다.

즉 $X_a = X_r + X_s + X_h$

이것을 다시 써보면

$$\begin{bmatrix} X_a^b \\ X_a^t \end{bmatrix} = \begin{bmatrix} X_r^b \\ X_r^t \end{bmatrix} + s \begin{bmatrix} X_s^b \\ X_s^t \end{bmatrix} + h \begin{bmatrix} -X_r^t \\ X_r^b \end{bmatrix} \dots (2-1)$$

여기서 X_a 는 임의의 벡터이고, X_r 는 미리 측정하여 얻은 SAMPLE 들의 평균치이다.

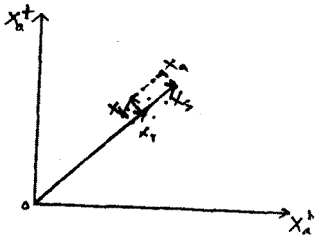


그림 2-1 : 특성공간에서의 임의의 벡터 표시.

상분벡터 s, h 를 평균이 0 이고 분산이 σ_s^2, σ_h^2 인 정규분포를 갖고 서로 독립인 확률변수로 가정하면 임의의 신호 X_a 의 X_r 에 대한 확률밀도함수 $P(X_a; X_r)$ 은 다음과 같이 표시될 수 있다. (4)

$$P(X_a; X_r) = \frac{1}{2\pi\sigma_s\sigma_h} \exp\left(-\frac{1}{2}\left(\frac{h^2}{\sigma_s^2} + \frac{s^2}{\sigma_h^2}\right)\right) \dots (2-2)$$

여기서 $s, h, J, \sigma_s^2, \sigma_h^2$ 은 다음과 같이 나타내어 진다.

$$s = \frac{X_a^b X_r^b + X_a^t X_r^t}{(X_r^b)^2 + (X_r^t)^2} - 1$$

$$h = \frac{X_a^t X_r^b - X_a^b X_r^t}{(X_r^b)^2 + (X_r^t)^2}$$

$$J = \begin{bmatrix} \frac{\partial X_a^b}{\partial h} & \frac{\partial X_a^b}{\partial s} \\ \frac{\partial X_a^t}{\partial h} & \frac{\partial X_a^t}{\partial s} \end{bmatrix}^{-1}$$

$$\sigma_s^2 = \frac{1}{(X_r^b)^2 + (X_r^t)^2} (\sigma_s^2 (X_r^b)^2 + 2X_r^b X_r^t \sigma_{sh} + \sigma_h^2 (X_r^t)^2)$$

$$\sigma_h^2 = \frac{1}{(X_r^b)^2 + (X_r^t)^2} (\sigma_s^2 (X_r^t)^2 - 2X_r^b X_r^t \sigma_{sh} + \sigma_h^2 (X_r^b)^2)$$

여기서 $\sigma_s^2, \sigma_h^2, \sigma_{sh}$ 는 각 성분들의 분산 (Variance) 및 그들의 공분산 (Covariance) 을 나타낸다.

확률밀도 함수를 (2-2) 와 같이 정의하면 동작은 다음과 같은 우도확률 (Likelihood probability) $H(W_i; X_a)$ 와 판별링 (Decision measure) $D(X_a)$ 로 판정될 수 있게된다.

$$H(W_i; X_a) = \frac{\prod_{j=1}^7 P(X_j | W_i) P(W_i)}{\prod_{j=1}^7 \sum_{l=1}^7 P(X_j | W_l) P(W_l)} \dots (2-3)$$

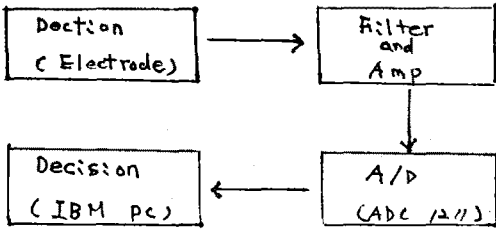
$$D(X_a) = \max_i \{ H(W_i; X_a) \} \dots (2-4)$$

여기서 X_a 는 측정된 Sample 이고,

$W_i, i=1, \dots, 7$ 과 $W_l, l=1, \dots, 7$ 는 7 개의 동작을 나타낸다.

2-2 실험 및 결과

2-2-1 전체 구성도



○ 그림 2-1 기 전체 구성도

2-2-2 검출 (Detection)

silver/silver chloride 전극으로 2 두박근과 3 두박근에 각각 2 개씩, 그리고 GROUND 로 1 개를 붙여 신호를 검출 하였다.

2-2-3 여과 와 증폭 (Filtering and Amplify)

EMG 신호의 특성으로 부터 HPF (10 HZ), LPF (2 KHZ), 60 HZ notch filter 를 사용하여 여과하였고, 증폭은 약 5000 배 정도로 차동증폭 하였다. 입력부 저항은 인체와의 정합(matching) 을 위해 약 22 M ohm 으로 하였다.

2-2-4 A/D 변환

고해상도 (high resolution) 를 위해 12 bit A/D 변환기 인 ADC 1211 을 사용 했으며, sampling 주파수는 약 3 KHZ 로 하여 한번에 1024 개 (2 두박근 .8 두박근 각 512 개) 의 sample 값을 얻었다. 위와같은 과정으로 얻은 신호의 예가 그림 2-2 에 있고, 각 신호에 대한 특성공간에서의 패턴형상은 그림 2-3 과 같이 나타난다.

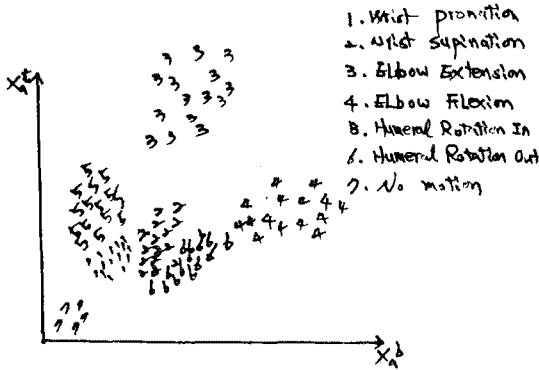


그림 2-3 동작 패턴

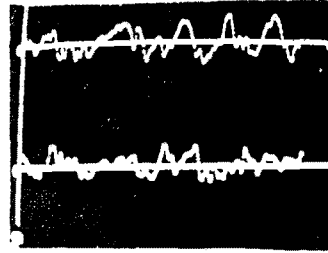


그림 2-2-1 ELBOW EXTENSION

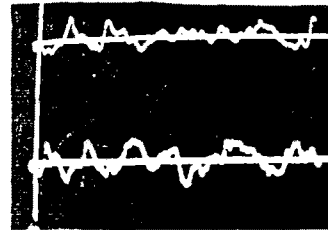


그림 2-2-2 ELBOW FLEXION

2-2-5 컴퓨터 계산

얻은 sample 과 위 식(2-4) 를 이용하여 동작을 판정하는 흐름선도는 그림(2-4)이다.

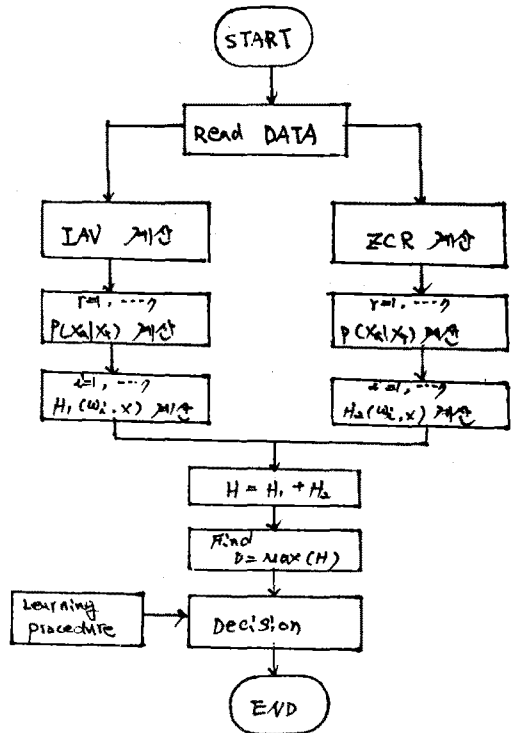


그림 2-4 컴퓨터 흐름선도

2-2-6 결과

이러한 과정들로부터 IBM PC로 동작을 판정한 결과가 다음 표 1과 2에 나타나 있다.

표 1 / 수인 위치 상단 시자의 판정 결과

	1	2	3	4	5	6	7
1	13					2	
2		11			4		
3			14			1	
4				15			
5			3	1	11		
6	2					13	
7							15

표 2 / 수인 위치 상부의 판정 결과

	1	2	3	4	5	6	7
1	14					1	
2		15					
3			15				
4				15			
5					15		
6						15	
7							15

3 결론

위 표 1과 2에 나타난 것과 같이 각 동작에 대해 만족할 만한 결과를 얻을 수 있었으며, 실험으로 인해 다음 몇 가지 사실도 알 수 있었다.

첫째 남자와 여자의 패턴은 약간은 다르지만 이 정도는 비슷하다.

둘째 동일한 피검자 일지라도 신호는 불이완 전극의 위치와 상당히 밀접한 관계를 갖는다.

셋째 반복된 훈련으로 오인식률(Misclassification rate)을 줄일 수 있다.

넷째 신호의 특성상 필터뱅크에 의한 판정 방법도 가능할 것이다.

본 논문에서는 기본 동작에 대해서만 다루었는데 앞으로 남은 과제는 2중, 3중 동작에 대해 연구해 보는 것과 전극수를 줄이고 판정 하는 방법의 개발이라 할 수 있을 것이다.

4 참고 문헌

- 1) Groupe D., Cline W.K.: "Functional separation of EMG signals via ARMA identification methods for prosthesis control purpose". IEEE Trans. on Syst., Man, and Cybernetics, Vol. SMC-5, pp. 252-259, March 1975
- 2) Saridis G.N., Gootee T.P.: "EMG pattern Analysis and classification for a prosthetic arm." IEEE Trans. on Biomed. Eng., Vol. BME-29, pp. 403-409, June, 1982
- 3) Lee S., Saridis G.N.: "The control of a prosthetic arm by EMG pattern recognition." IEEE Trans. on Automatic Control, Vol. AC-29, No. 4, pp. 290-302, Apr. 1984
- 4) J.T. Tou, R.C. Gonzalez: "Pattern recognition principles" Addison-Wesley publishing Co., 1974
- 5) 김 종 문, 홍 석 고, 고 영 길, "근전도신호의 시계열 해석을 통한 의수의 마이크로 컴퓨터 제어", 아주대학교 논문집, 제 7 권, pp. 49-56, 1984
- 6) 홍 석 고, "EMG 패턴인식을 이용한 인공팔의 마이크로프로세서 제어", 전기학회 논문지 제 33 권 제 10호, pp. 381-386, 10, 1984